

О ВЗАИМОДЕЙСТВИИ ЭЛЕКТРОННОГО ПУЧКА С МАГНИТНЫМИ ПОЛЯМИ В ЛАЗЕРНОЙ ПЛАЗМЕ

С.С. Котельников, И.Г. Лебо, В.Б. Розанов

Рассмотрена задача о рассеянии пучка электронов на магнитных полях в лазерной мишени. Показано, что измерение дифференциального сечения рассеяния позволяет определить номер гармоники магнитного поля, развивающейся наиболее интенсивно, а максимальный угол отклонения позволяет судить о величине поля.

В результате отклонения от сферической симметрии сжатия лазерной мишени (из-за развития гидродинамической неустойчивости) в плотной плазме возможно появление полей порядка 10 МГс и более. В работе /1/ указывалось на возможность экспериментального исследования спонтанных магнитных полей в мишенях по рассеянию пучка электронов с энергиями ≥ 100 кэВ на этих полях.

Рассмотрим рассеяние электронного пучка на полоидальном магнитном поле. Такая геометрия может реализоваться при наличии в облучающей системе выделенного направления. Кинематика рассеяния электронного пучка на магнитном поле изображена на рис. 1. Ось пучка электронов совпадает с осью мишени. Магнитное поле локализовано в области $[R_M - \Delta, R_M]$ и имеет только азимутальную компоненту $B = (0, 0, B_\varphi)$. Время изменения магнитного поля по порядку величины равно времени разлета мишени, т.е. составляет $\sim 10^{-9}$ с, а время пролета электрона с энергией $\epsilon \sim 100$ кэВ равно $R_H/v \sim 10^{-11}$ с. Таким образом, при рассмотрении задачи о рассеянии частиц магнитное поле будем считать стационарным. Рассмотрим взаимодействие пучка с магнитным полем вида:

$$B = \begin{cases} B_0 \sin k\theta & r \in [R_M - \Delta, R_M] \\ 0 & r \notin [R_M - \Delta, R_M]. \end{cases} \quad (1)$$

Уравнения движения частицы в таком поле в сферических координатах имеют вид:

$$\begin{aligned} dr/dt &= v_r, & r d\theta/dt &= v_\theta, \\ dv_r/dt &= -\omega_B v_\theta \sin k\theta + v_\theta^2/r, \\ dv_\theta/dt &= \omega_B v_r \sin k\theta - v_r v_\theta/r, \end{aligned} \quad (2)$$

где $\omega_B = eV_0/m_e c$ — циклотронная частота; v_r и v_θ — компоненты скорости. Начальные условия: $t = 0$, $r = R_M$, $v_r = -v_0 \sin \theta_0$, $v_\theta = v_0 \cos \theta_0$, v_0 — скорость частиц в пучке, $\theta_0 = \arcsin \rho/R_M$, ρ — прицельный параметр (рис. 1). Если обезразмерить уравнения (2) и начальные условия с помощью масштабных величин R_M , v_0 , ω_B , $t_0 = R_M/v_0$, то решение будет зависеть от двух параметров: $\Delta_B = (\Delta/R_M)$ и $\delta = (R_M/R_L)$, где $R_L = v_0/\omega_B$ — ларморовский радиус. В общем случае система (2) для N частиц решалась численно (программа "РЭМП").

Для малых значений параметра δ систему уравнений (2) приближенно можно решить аналитически. После замены переменных $v_r = -v_0 \cos(\Theta + \theta)$, $v_\theta = v_0 \sin(\Theta + \theta)$, $x = r/R_M$ и исключения времени систему (2) можно записать в следующей форме:

$$\cos(\Theta + \theta)d\Theta/dx = \delta \sin k\theta,$$

$$d\theta/dx = - (1/x) \operatorname{tg}(\Theta + \theta), \quad (3)$$

где Θ — угол отклонения от первоначального направления как функция x .

Система уравнений (3) решалась итерациями по малому параметру δ ($R_M \ll R_L$) с точностью до линейных членов. Линейное приближение несправедливо при четных значениях параметра k , поскольку при этом частица, пересекая область магнитного поля при влете в мишень и при вылете из мишени, отклоняется в противоположных направлениях. Суммарное отклонение при четных k всегда меньше, чем при нечетных.

Случай $k = 1$ и $V = -V_0 \sin\theta$ при $r \in [R_M - \Delta, R_M]$ моделирует распределение магнитных полей в плазменном факеле, образованном при облучении плоских мишеней. (Для простоты предполагается, что плазма имеет вид сферы, переход к эллипсоидальной форме факела не представляет принципиальных затруднений.) Из (3) можно получить угол отклонения Θ как функцию x_0 :

$$\Theta = \begin{cases} 2\delta x_0 \ln \frac{1 + \sqrt{1 - x_0^2}}{1 - \Delta_B + \sqrt{(1 - \Delta_B)^2 - x_0^2}}, & 0 < x_0 < 1 - \Delta_B, \\ 2\delta x_0 \ln \frac{1 + \sqrt{1 - x_0^2}}{x_0}, & 1 - \Delta_B < x_0 < 1, \end{cases} \quad (4)$$

где $x_0 = \rho/R_M$. Максимальный угол отклонения $\Theta_{\max} \approx 1,2\delta$ зависит от амплитуды магнитного поля через параметр δ . По известному из эксперимента значению Θ_{\max} возможно, в принципе, определить величину магнитного поля в плазме. Численные расчеты показывают, что в случае $R_M \sim R_L$ возникает зависимость Θ_{\max} также и от параметра Δ_B .

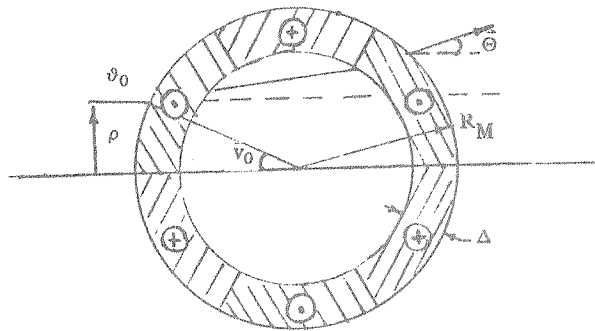


Рис. 1. Кинематика рассеяния электрона на полюидальном магнитном поле. Знаками \ominus или \oplus указаны направления входа или выхода силовых линий магнитного поля в мишени.

В качестве примера рассчитана зависимость угла отклонения от относительного прицельного параметра x_0 для $k = 3$ и 5 , $\delta = 0,2$, $\Delta_B = 0,2$ (рис. 2а). На рис. 2б представлена зависимость дифференциального сечения рассеяния $(d\sigma/d\Omega)/R_M^2$. Сечение максимально в тех точках, где $d\Theta/dx_0 = 0$. Число максимумов N в зависимости $d\sigma/d\Omega$ при $K\Delta_B < 1$ однозначно связано с номером гармоники магнитного поля и определяется числом корней функции $\sin k\theta$ при $0 \leq \theta \leq \pi/2$, т.е. $N < k/2 + 1$.

На рис. 3 представлены результаты расчетов для случая $\delta = 1$, $\Delta_B = 0,2$. Аналитическое решение при $\delta = 1$ формально не применимо, однако результаты численного и аналитического расчетов схожи по характеру поведения. Значения величин Θ и $d\sigma/d\Omega$ для численного и аналитического расчетов, как и следовало ожидать, различаются.

В настоящей работе не учитывались следующие эффекты: взаимодействие электронов с электрическими полями, которые могут возникать в плазме за счет нестационарности; эффекты многократного рассеяния в плазме; возможная генерация в мишени быстрых электронов.

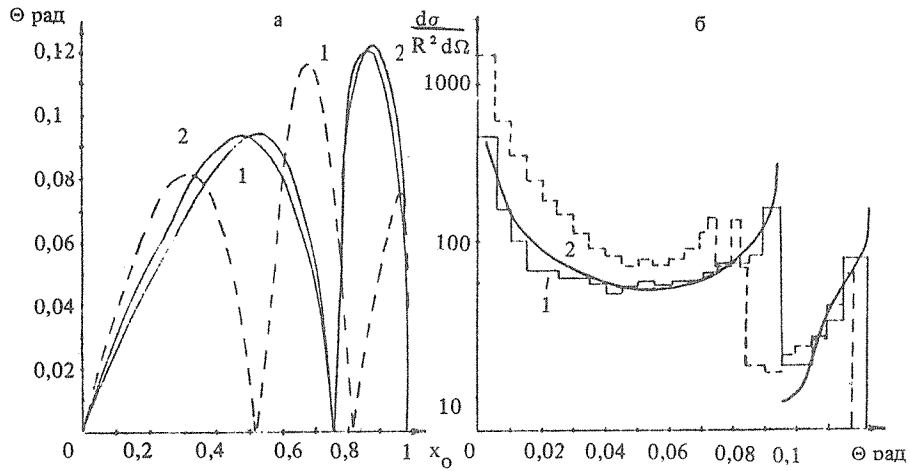


Рис. 2. а) Зависимость угла рассеяния Θ от относительного прицельного параметра $x_0 = \rho/R_M$. б) Зависимость дифференциального сечения рассеяния $d\sigma/d\Omega$ от x . Пунктирная кривая и кривая 1 – результаты численного расчета для $\kappa = 5$ и $\kappa = 3$, кривая 2 – аналитический расчет для $\kappa = 3$. $\delta = 0,2$, $\Delta_B = 0,2$.

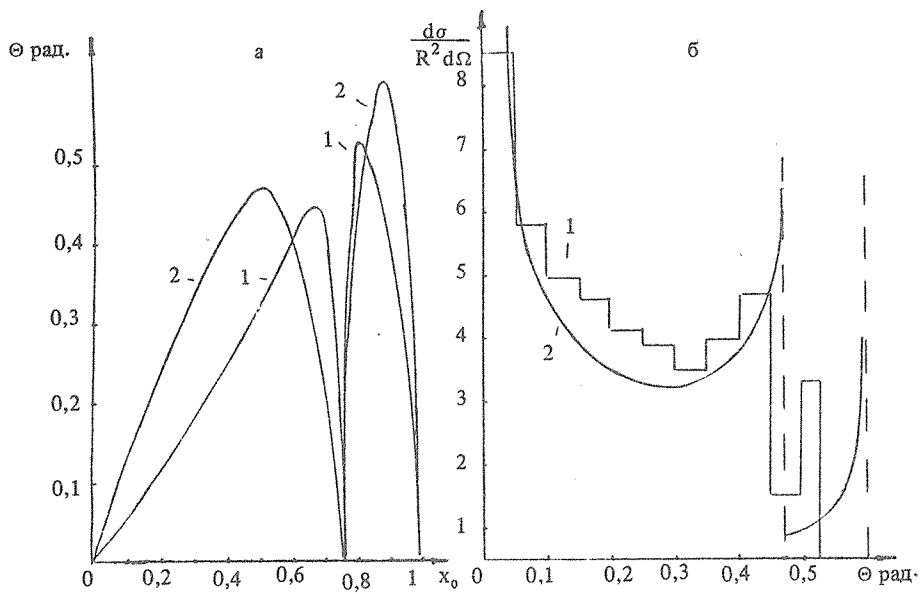


Рис. 3. То же, что на рис. 2, для $\delta = 1$, $\Delta_B \approx 0,2$, $\kappa \approx 3$.

Вихревое электрическое поле можно оценить как $E \sim dV/ct$, где d – характерный размер области, в которой существует поле, t – время изменения. Для $V \approx 10$ МГц, $d \leq 10^{-2}$ см, $t \sim 10^{-9}$ с и электронов с энергией $\epsilon > 100$ кэВ отклонение частицы в электрическом поле будет на порядок меньше, чем в магнитном.

Энергия и количество быстрых электронов, генерируемых в мишени, зависят от параметра $q\lambda^2$, где q – интенсивность, λ – длина волны излучения $/2$. Для случая $q\lambda^2 \leq 10^{14}$ (Вт/см²)мкм² доля быстрых электронов с энергиями порядка 100 кэВ пренебрежимо мала.

Отклонение электронного пучка в магнитном поле следует сравнить со среднеквадратичным отклонением $\langle \Theta^2 \rangle$, обусловленным многократным рассеянием заряженной частицы в плазме [3]:

$$\langle \Theta^2 \rangle = \frac{8\pi e^4 \bar{n} R_M \Lambda}{\epsilon^2}, \quad (5)$$

где \bar{n} — средняя концентрация плазмы в области размером R_M , Λ — кулоновский логарифм. При $n = 10^{24} \text{ см}^{-3}$, $R_M = 10 \text{ мкм}$ для $\epsilon > 100 \text{ кэВ}$ отклонение в магнитном поле (Θ_M) оказывается больше, чем отклонение за счет многократного рассеяния, причем $\Theta_M \sim \Delta_B / R_L \sim 1/\sqrt{\epsilon}$, а $\langle \Theta^2 \rangle \sim \epsilon^{-2}$.

Авторы благодарны Г.В. Склизкову за полезное обсуждение.

ЛИТЕРАТУРА

1. Гамалий Е. Г., Лебо И. Г., Розанов В. Б. Труды ФИАН, 149, 66 (1985).
2. Henderson D. V. Preprint LA-UR-77-1442, 1977.
3. Готт Ю. В. Взаимодействие частиц с веществом в плазменных исследованиях. М., Атомиздат, 1978, с. 271.

Поступила в редакцию 10 сентября 1986 г.